

# 論 説 報 告

第 26 卷 第 5 號 昭和 15 年 5 月

## 固定梁の軸張力實用計算法

准員 櫻井 豊三\*

**要旨** 軸張力を考慮せる固定梁の解法は 10 数年前鷹部屋博士が提案され、その後 R. Wiederkehr 氏が座標原點を少しく變へて同様な公式を誘導したが、何れも軸張力の算式が超越函數式の爲實用上不便な感みがあつた。本文はこの困難を除くべく單純梁との關聯に於て簡易なる實用式を誘導し、その解法を例題に就て説明し併せて誤差の程度を示して應用の範囲を明らかにしたものである。尙鷹部屋博士による理論式並にそれより導かれる簡易式に就てもその概略を記述した。

### 1. 緒 言

普通單純梁及固定梁として取扱はれるものは構造上一端が可動と見做し得ない場合に對しても、便宜上水平方向の移動可能即ち伸縮することの無い中立軸の存在を假定してゐる。然しながら實際問題として水平変位が全然許されず若しくはその一部が拘束される如き場合は決して少くなく、この場合當然の結果として軸張力が誘發される。茲に謂ふ固定梁とは斯る場合を指すものであつて、薄鐵板を張つた様な構造物が水壓等を受ける場合に於ては誘發される軸張力の影響は専門に附すべからざるものである。

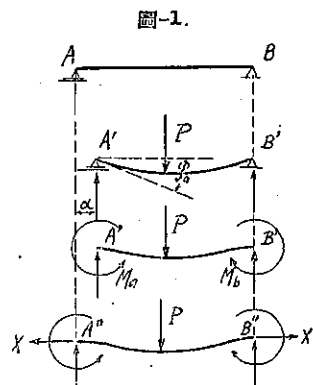
今 図-1 に於て單純梁 AB が荷重 P に依り撓んだ場合を考へると、可動端 A は A' に  $\alpha$  だけ移動し、同時に A 點に於ける彈性曲線の切線は  $\varphi_a$  だけ回轉する。同様に B 點に於ける夫れを  $\varphi_b$  とすると、この移動した位置に於て曲げモーメント  $M_a$  及  $M_b$  を圖の如く働くしめ、 $\varphi_a$ ,  $\varphi_b$  を零に導くことは可能である。次に軸張力  $X$  を加へて A' 端を  $\alpha$  だけ左方に移動し A 點の位置まで持つて來ることも出来る譯である。

固定梁とはこの  $\varphi_a$ ,  $\varphi_b$  が零若しくは單純梁の回轉角よりも小にして  $M_a$  及  $M_b$  の誘發を見る場合、又は  $\alpha$  が零若しくは單純梁の水平移動量より小にして X の誘發を見る場合及この兩者が同時に生ずる場合を謂ふのである。この場合  $\alpha=0$ ,  $\varphi_a=\varphi_b=0$  なる如き場合を完全固定梁、その他の場合を不完全固定梁と

謂ひ、これ等の移動量並びに回轉角の有無大小の組合せにより種々の異つた興味ある問題を與へる。然もこれ等は後述する如く軸張力の算出に歸着するのであるが、その算式は双曲線函數の形で與へられ實用上非常に不便なるのみならず、正確な値を得ることにも相當困難がある。筆者は以前この問題を少しく取扱つたことがあるが、最近偶々當時とは異なる考察より實用式を誘導したので、これ等を一括して御批判を仰ぐことも強ち徒爾ではないと考へて本誌面を拜借した次第である。尙説明の都合上鷹部屋博士の誘導された理論式を隨處に必要とするので簡単にその大要を記述し、然る後本論に入ることにする。詳細は同博士の著書その他末尾の文獻<sup>(1)</sup>を御参照願ひ度い。

### 2. 理 論 式

#### a. 軸張力の存在する梁の彈性曲線<sup>(2)</sup>



\* 工學士 鐵道局技手 名古屋鐵道局工務部保線課

圖-2に於て梁ABが荷重qに依つて彎曲し、軸張力Xが誘発されたものとする。今水平変位が可能にしてXが誘導されない場合の弾性曲線半径を $\rho_1$ とすると、熟知の次の関係が成立する。

$$\rho_1 = \frac{EI}{M}$$

然るにこの場合Xに依り梁は $\varepsilon l$ だけ伸長する爲長素 $l'$ を取つて考へると、圖-3の如く $\varepsilon l'$ だけ断面Eが平行に移動し従つて曲率半径は $\rho_2$ だけ増大することになる。今Iを梁の断面二次モーメント、Aを断面積、Eを材料のヤング係数とすると

$$\varepsilon = \frac{X/A}{E} = \frac{X}{EA}$$

で表はされる。又圖-3より

$$\frac{\rho_2}{\rho_1} = \frac{\varepsilon l'}{l'} = \varepsilon = \frac{X}{EA} \quad \therefore \rho_2 = \frac{X}{EA} \rho_1$$

$$\text{然るに } \rho = \rho_1 + \rho_2 = \rho_1 \left(1 + \frac{X}{EA}\right) = \frac{EI}{M} \left(1 + \frac{X}{EA}\right)$$

$$= \frac{I}{M} \left(E + \frac{X}{A}\right) = \frac{KI}{M} \quad \text{茲に } K = E + \frac{X}{A}$$

従つて弾性曲線の微分方程式は

$$\frac{d^2y}{dx^2} = -\frac{M}{KI} \quad \dots \dots \dots \dots (1)$$

となるが、普通 $X/A$ はEに比して省略的微量であるからEを使用して差支なく以下述べる場合もこれに依ることにする。

### b. 中央に單一荷重を有する完全固定梁

梁ABがPなる單一荷重を受け、圖-4の如き状態に於て平衡にあるものとし、座標原點をAに取り、x及びy軸を夫々図の方向に定めると

$$M = \frac{P}{2}x - M_a - Xy$$

これを(1)式のMに代入すれば(Kの代りにEとする)

$$\frac{d^2y}{dx^2} - \frac{X}{EI}y + \frac{1}{EI} \left(\frac{P}{2}x - M_a\right) = 0$$

$$\text{これより } y = C_1 e^{mx} + C_2 e^{-mx} + \frac{P}{2X}x - \frac{M_a}{X} \quad \text{茲に } m = \sqrt{\frac{X}{EI}}$$

然るに  $x=0$  に於て  $y=0$ ,  $x=l/2$  に於て  $dy/dx=0$

なるを以て  $M_a = X(C_1 + C_2)$

$$C_1 e^{\omega} - C_2 e^{-\omega} + \frac{Pl}{4\omega X} = 0 \quad \text{茲に } \omega = \frac{l}{2} \sqrt{\frac{X}{EI}}$$

これより

$$C_1 = \frac{1}{2X \cosh \omega} \left\{ M_a \cosh \omega - \sinh \omega - \frac{Pl}{4\omega} \right\}, \quad C_2 = \frac{1}{2X \cosh \omega} \left\{ M_a (\cosh \omega + \sinh \omega) + \frac{Pl}{4\omega} \right\}$$

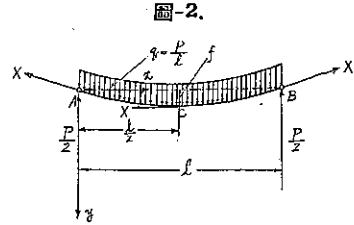


圖-2.

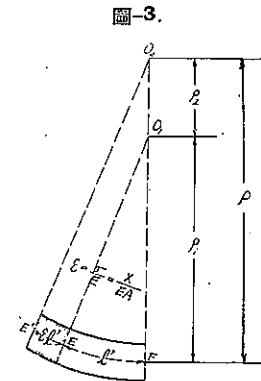
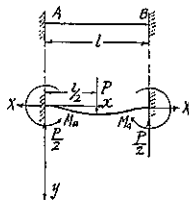


圖-3.

圖-4.



$$\therefore y = \frac{Pl}{4\omega X \cosh \omega} \left\{ \frac{2\omega x}{l} \cosh \omega - \sinh \left( \frac{2\omega x}{l} \right) \right\} + \frac{Ma}{X \cosh \omega} \left\{ \cosh \left( \frac{2x}{l} - 1 \right) \omega - \cosh \omega \right\}$$

$$\therefore \frac{dy}{dx} = \frac{Ma}{EI} \frac{\cosh \left( \frac{2x}{l} - 1 \right) \omega}{\cosh \omega} - \frac{P\omega}{Xl} \frac{\sinh \left( \frac{2\omega x}{l} \right)}{\cosh \omega}$$

故に (1) 式より

$$M = \frac{Pl \sinh \left( \frac{2\omega x}{l} \right)}{4\omega \cosh \omega} - \frac{Ma \cosh \left( \frac{2x}{l} - 1 \right) \omega}{\cosh \omega}$$

然るに完全固定梁の場合は  $x=0$  に對し  $\frac{dy}{dx}=0$  なるを以て、これより

$$Ma = \frac{Fl}{4\omega} \tanh \frac{\omega}{2} \quad \dots \dots \dots \dots \quad (2)$$

從つてこの値を上記の  $y$  及  $M$  の式に代入すると

$$y = \frac{P}{2X} \left\{ x - \frac{l \sinh \frac{\omega x}{l} \cosh \left( \frac{\omega}{2} - \frac{\omega x}{l} \right)}{\omega \cosh \frac{\omega}{2}} \right\} \quad \dots \dots \dots \dots \quad (3)$$

$$M = \frac{Pl}{4\omega} \frac{\sinh \left( \frac{2\omega x}{l} - \frac{\omega}{2} \right)}{\cosh \frac{\omega}{2}} \quad \dots \dots \dots \dots \quad (4)$$

以上の算式は未知量である  $\omega$  及  $X$  を含み、且つ  $\omega$  は  $X$  の函数で  $P$  なる荷重に依つて生ずるものであるから、結局軸張力  $X$  の算出が必要となる。而して  $X$  は荷重に依る梁の伸長によつて誘發されるものであるから、今この量を  $\Delta l$  とすると<sup>(3)</sup>

$$\Delta l = \frac{Xl}{EA}$$

一方梁の長さは伸長後  $l+\Delta l$  となるを以て

$$\begin{aligned} l+\Delta l &= 2 \int_0^{\frac{l}{2}} \sqrt{1 + \left( \frac{dy}{dx} \right)^2} dx \\ &= 2 \int_0^{\frac{l}{2}} \left\{ 1 + \frac{1}{2} \left( \frac{dy}{dx} \right)^2 \right\} dx = l + \int_0^{\frac{l}{2}} \left( \frac{dy}{dx} \right)^2 dx \\ &\therefore \int_0^{\frac{l}{2}} \left( \frac{dy}{dx} \right)^2 dx - \frac{Xl}{EA} = 0 \end{aligned}$$

今この式の  $\frac{dy}{dx}$  に (3) 式より求めた値を代入して積分し、 $X = \frac{4EI}{l^2} \omega^2$  を用ひて整理すると

$$\frac{2 + \cosh \omega - \frac{3 \sinh \omega}{\omega}}{\omega^2 \cosh^2 \frac{\omega}{2}} = \frac{1024 E^2 I^3}{P^2 l^6 A} \quad \dots \dots \dots \dots \quad (5)$$

が得られる。これが中央に單一荷重を有する完全固定梁の軸張力を與へる算式であつて、右邊は梁の材料、寸法及荷重状態に依つて定まる既知項である。從つてこれが算出に當つては、 $X$  が  $\omega$  の中に含まれる超越函数として與へられてゐるので、右邊の數値を満足する如き  $\omega$  を試索的に求めるより外に方法が無い。 $0.001 \leq \omega \leq 0.1$  なる  $\omega$  に對する左邊の値は 表-1 の如くである。



メントが零なる條件より容易に見出される。

$$\frac{2 + \cosh 2\omega - \frac{3 \sinh 2\omega}{2\omega}}{64\omega^6 \cosh^2 \omega} = \frac{16EI^3}{P^2 l^6 A} \quad \dots \dots \dots (10)$$

茲に

$$\omega = \frac{l}{2} \sqrt{\frac{X}{EI}}$$

(10) 式の左邊は  $2 + \cosh 2\omega - \frac{3 \sinh 2\omega}{2\omega}/(2\omega)^6 \cosh^2 \omega$  と書き直されるから、式の形は b の (5) 式と全く同一にして、唯  $\omega$  の代りに  $2\omega$  が入り来るのみである。従つて例へば表-1 の 0.1 に対する値は (10) 式の  $\omega = 0.05$  に対する値を示すことになる。

彈性曲線及曲げモーメントは次式で與へられる。

$$y = \frac{P}{2X} \left\{ x - \frac{l \sinh \left( \frac{2\omega x}{l} \right)}{2\omega \cosh \omega} \right\} \quad \dots \dots \dots (11)$$

$$M = \frac{Pl \sinh \left( \frac{2\omega x}{l} \right)}{4\omega \cosh \omega} \quad \dots \dots \dots (12)$$

#### e. 等分布荷重を満載する鉄端固定梁 (図-7)

この場合も同様にして次の表式を得る。

$$\frac{4\omega^2 \cosh^2 \omega - 24 \cosh^2 \omega + \frac{15 \sinh 2\omega}{\omega} - 6}{\omega^8 \cosh^2 \omega} = \frac{6144EI^3}{P^2 l^6 A} \quad \dots \dots \dots (13)$$

茲に

$$\omega = \frac{l}{2} \sqrt{\frac{X}{EI}}$$

$$y = \frac{P}{2X} \left[ x - \frac{x^2}{l} - \frac{l}{2\omega^2} \right] + \frac{Pl \cosh \left( \frac{2\omega x}{l} - \omega \right)}{4\omega^2 X \cosh \omega} \quad \dots \dots \dots (14)$$

$$M = \frac{Pl}{4\omega^2} \left\{ 1 - \frac{\cosh \left( \frac{2\omega x}{l} - \omega \right)}{\cosh \omega} \right\} \quad \dots \dots \dots (15)$$

### 3. 理論式の簡易化による考察

#### a. 概 説

上述せる處に依つて明らかなる如く、固定梁の問題は結局軸張力  $X$  の解法に歸着する。然もこの  $X$  は  $\omega$  の中に含まれる超越函数として與へられる爲、實用上甚だ不便であり、前掲表-1 又はこれを圖表化したものを夫々の場合に對して準備する必要があるのみならず、試索法に依る結果煩雜な理論式を用ひても尙正確な値を得ることが容易でない。従つて實際問題としては、例へば 2-b の場合にて右邊の値が 6.32145 とすると、表-1 よりこれに對する  $\omega$  は 0.051 と 0.052 の間にあることを知り、この間に於ては右邊の値と  $\omega$  とは比例するものと假定して求める程度で満足せざるを得ない。 $\omega$  の値が定まるとき  $\omega = \frac{l}{2} \sqrt{\frac{X}{EI}}$  若しくは  $X = \frac{4EI}{l^2} \omega^2$  に依つて  $X$  が與へられ、これより梁の撓や曲げモーメントを求ることは容易である。

図-6.

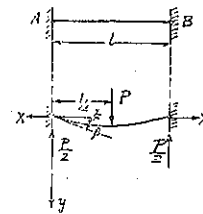
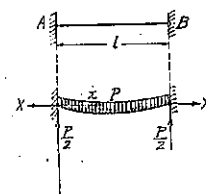


図-7.



さて  $\sinh \omega$  及  $\cosh \omega$  は熟知の如く

$$\left. \begin{aligned} \sinh \omega &= \omega + \frac{\omega^3}{3!} + \frac{\omega^5}{5!} + \frac{\omega^7}{7!} + \dots \\ \cosh \omega &= 1 + \frac{\omega^2}{2!} + \frac{\omega^4}{4!} + \frac{\omega^6}{6!} + \dots \end{aligned} \right\} \quad (16)$$

で表はされ  $\omega$  の小なる範囲に於ては實用上最初の數項のみを取つて充分である。従つてこれを用ひて軸張力計算式の左邊を展開して近似解を求めるとき、分子の最初の 2~3 項は消失するから、殘留した第 1 項のみを取り、又分母は  $\sinh \omega \approx \omega$ ,  $\cosh \omega \approx 1$  と置いて實用式が誘導される。殊に最後の假定の如き相當粗雑の様に見えるが表-1 に示す如き範囲 ( $\omega \leq 0.1$ ) に對しては充分正確であり、而も斯くして求めた近似値と正確に算出した値との間には極めて規則的な關係が存在するので、これを補正項として使用すると殆ど精密な式と同等なる  $\omega$  即ち  $X$  の算出が可能である。

又  $\sinh \omega$  及  $\cosh \omega$  はその定義より

$$\sinh \omega = \frac{e^\omega - e^{-\omega}}{2}, \quad \cosh \omega = \frac{e^\omega + e^{-\omega}}{2} \quad (16')$$

なるを以て、 $\omega$  の高値 (實用上  $\omega \geq 3$ ) に對しては  $\sinh \omega \approx \cosh \omega$  と見做して差支ない。依つて大なる軸張力即ち大なる  $\omega$  が與へられる如き場合に對しては、この關係を利用して實用式が得られる。

$\omega$  が上述の範囲の中間に於ける場合は斯くの如き關係は見出されないので、軸張力算式の右邊の對數で與へられる近似式を用ひることとし、一應總べての場合に對して數表や煩瑣な計算によることなく  $\omega$  を算出し得る様な表式を誘導して見よう。

### b. 中央に單一荷重を有する完全固定梁

この場合に對する軸張力の算式は (5) 式にて與へられる。

$$\frac{2 + \cosh \omega - \frac{3 \sinh \omega}{\omega}}{\omega^6 \cosh^2 \frac{\omega}{2}} = \frac{1024 E^2 I^3}{P^2 l^6 A} \equiv f(\omega) \quad (5)$$

$$\text{茲に } \omega = \frac{l}{2} \sqrt{\frac{X}{EI}}$$

今この左邊に (16) の展開式の關係を代入すると、分子の最初の 2 項は消失して

$$\begin{aligned} \text{左邊} &= \frac{\frac{\omega^4}{60} + \frac{\omega^6}{1260} + \frac{\omega^8}{6480} + \dots}{\omega^6 + \frac{\omega^8}{4} + \frac{\omega^{10}}{48} + \dots} \\ &= \frac{\frac{1}{60} + \frac{\omega^2}{1260} + \frac{\omega^4}{4680} + \dots}{\omega^2 + \frac{\omega^4}{4} + \frac{\omega^6}{48} + \dots} \end{aligned}$$

となる。従つて  $\omega$  の小値に對しては

$$f(\omega) \approx \frac{1}{60\omega^2}$$

と見做して差支なく、前掲の 表-1 とは殆ど同一の結果を與へる (例へば  $\omega = 0.1$  に對し  $f(\omega) = 1.66667$ )。故に斯る  $\omega$  に對しては

$$\frac{1}{60\omega^2} = \frac{1024EI^3}{P^2l^4A} \quad \dots \dots \dots \quad (17a)$$

或は  $\omega = \frac{l}{2}\sqrt{\frac{X}{EI}}$  を代入して

$$X = \frac{P^2l^4A}{15360EI^2} \quad \dots \dots \dots \quad (17b)$$

を得る。即ち  $X$  はこの式によつて計算され、 $\omega \leq 0.1$  換言すれば  $f(\omega) \geq 1.66330$  なる範

圍(表-1 参照)に對しては實用上何等の支障が無く表-1 の如きものを必要としない。今 図-8 に於て、水平變位可能なる固定梁 AB が中央に單一荷重  $P$  を受けた場合の水平變位  $\alpha_0$  は次の如く與へられる。

即ち  $M = \frac{-P(l-\alpha_0)}{8} + \frac{P}{2}x$  より

$$y = \frac{P}{16EI} \left\{ x^2 \left[ (1 - \alpha_0) - \frac{4}{3}x^3 \right] \right\}$$

變位後も梁の長さは不變なることより

$$\begin{aligned} l &= 2 \int_0^{\frac{l-\alpha_0}{2}} \sqrt{1 + \left( \frac{dy}{dx} \right)^2} dx = 2 \int_0^{\frac{l-\alpha_0}{2}} \left\{ 1 + \frac{1}{2} \left( \frac{dy}{dx} \right)^2 \right\} dx \\ &\doteq \frac{P^2l^5}{15360EI^2} \left( 1 - \frac{\alpha_0}{l} \right)^5 \\ \therefore \alpha_0 &= \frac{P^2l^5}{15360EI^2} \left( 1 - \frac{\alpha_0}{l} \right)^5 \doteq \frac{P^2l^5}{15360EI^2} \end{aligned}$$

故に前述の  $X$  の近似値を與へる表式は可動端を有する梁の水平變位即ち  $\alpha_0 = \frac{Xl}{EA}$  なる關係からも誘導されることが知れる。換言すれば 図-8 に於て、彈性曲線の形狀を變へることなく梁の A 端を  $\alpha_0$  丈け左方に移動するに要する力が  $X$  を與へることになる。斯くの如く  $P$  が小即ち  $X$  の小なる範圍に於ては 図-8 の  $f \doteq f_0$  と見做すことが出來、伸長量  $\alpha$  は近似的に  $\alpha_0$  に等しいが  $X$  が或る値以上となると  $f < f_0$  となり、この關係が成立しなくなる。

例として前掲の文獻 1) 又は 3) に示されてゐる例題をとると

$$l = 400 \text{ cm} \quad A = 10.6 \text{ cm}^2 \quad I = 170 \text{ cm}^4 \quad E = 2100000 \text{ kg/cm}^2$$

なる固定梁の中央に單一荷重

$$P = 100 \text{ kg} \text{ がかかると } X = 2.9 \text{ kg} \quad P = 500 \text{ kg} \text{ がかかると } X = 72 \text{ kg}$$

となり、理論式によると同一の  $X$  を與へる。

尙我々は  $1/60\omega^2$  と 表-1 に示されてゐる  $f(\omega)$  との間に次の如き興味ある關係を見出すことが出来る。

$$\frac{1}{60\omega^2} - f(\omega) = 0.00336 \sim 0.00337$$

即ち兩者の差が  $\omega \leq 0.1$  なる範圍に於て殆ど同一であると云ふことは極めて興味あることで、且つこの關係は  $\omega = 1$  に對しても

$$\frac{1}{60\omega^2} - f(\omega) = 0.016667 - 0.013745 = 0.002922$$

圖-8.

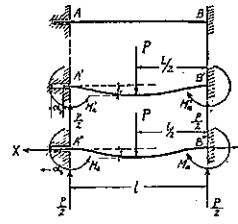
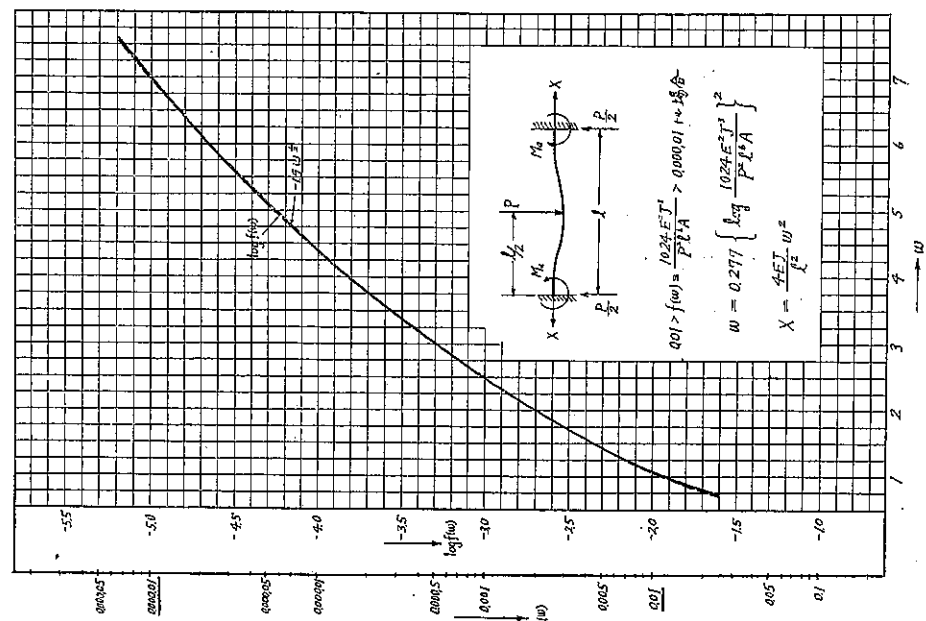
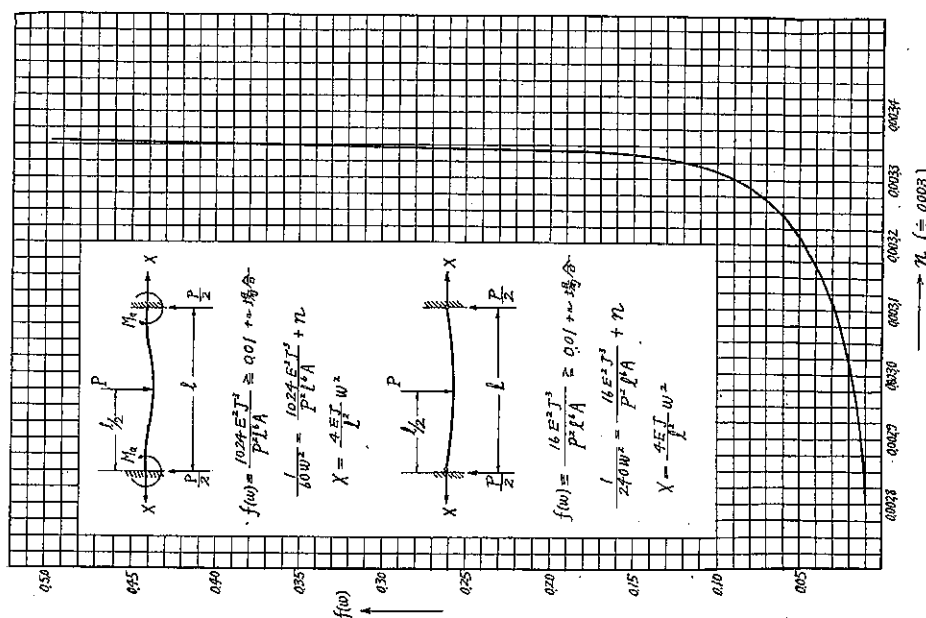


図-9.



で大差がない。従つてこれ等の値を補正項として用ひるならば、近似式を用ひて而も完全な數値を見出しえる譯である。今この補正項を  $n$  とすれば (17a) 及 (17b) 式は一般に次の如くなる。

$$\frac{1}{60\omega^2} = \frac{1024E^2I^3}{P^2l^6A} + n \dots \dots \dots \dots \dots \dots \dots \quad (17)$$

$f(\omega)$  の種々の値に對する補正項  $n$  は図-9 に示されてゐる。従つて軸張力の計算に當つては、 $f(\omega) = 1.024E^2I^3/P^2l^6A$  の値に相當する  $n$  を図-9 より求めて (17) 式の  $\omega$  を算出し、然る後  $X$  が見出されるのであるが、實際問題として圖示の範囲 ( $f(\omega) \geq 0.01$ ) に對しては  $n=0.003$  と置いて差支ない。

$$\therefore \frac{1}{60\omega^2} = \frac{1.024E^2I^3}{P^2l^6A} + 0.003 \quad \left. \begin{array}{l} \\ \end{array} \right\} \dots \dots \dots \dots \dots \dots \dots \quad (17')$$

但し  $\frac{1.024E^2I^3}{P^2l^6A} \geq 0.01$  なる場合

次に  $\omega$  の高值に對しては ( $\omega/2 \geq 3$ )

$$\cosh \frac{\omega}{2} = \sinh \frac{\omega}{2}, \quad \cosh \omega = \sinh \omega = 2 \sinh \frac{\omega}{2} \cosh \frac{\omega}{2} = 2 \sinh^2 \frac{\omega}{2}$$

$$\frac{2}{\omega^6 \cosh^2 \frac{\omega}{2}} = 0$$

と置くと

$$\frac{2}{\omega^6} \left( 1 - \frac{3}{\omega} \right) = \frac{1.024E^2I^3}{P^2l^6A} \dots \dots \dots \dots \dots \dots \dots \quad (18)$$

(18) 式は次に述べる如く  $f(\omega) \leq 0.00001$  に對して用ひるものとする。

$f(\omega)$  の値が 0.00001 と 0.01 の間にある場合に對しては上述の如き簡単式の誘導が不可能であり、且つ  $\omega$  の僅少の増加に對し  $f(\omega)$  は急激に減少する。例へば

$$\begin{array}{ll} \omega = 1 \text{ に對し } f(\omega) = 0.0137 & \omega = 2 \text{ に對し } f(\omega) = 0.00211 \\ \omega = 3 \quad " \quad f(\omega) = 0.000508 & \omega = 4 \quad " \quad f(\omega) = 0.000152 \end{array}$$

の如くで、これを圖表にて示す場合一枚に收め得ず非常に厄介である。依つて今これ等の  $f(\omega)$  の對數(常用對數)を取つて見ると、図-10 の實線に示す如き抛物線状をなして容易に圖上に表示され、而も  $\log f(\omega)$  の値は近似的に

$$\log f(\omega) = -1.9 \omega^{1/2}$$

と置くことが出来る。図-10 の點線は  $-1.9 \omega^{1/2}$  を示すもので、圖示の範囲では兩者は殆ど完全に一致してゐる。

$$\therefore \log \frac{1.024E^2I^3}{P^2l^6A} = -1.9 \omega^{1/2}$$

これより

$$\omega = 0.277 \left\{ \log \frac{1.024E^2I^3}{P^2l^6A} \right\}^2 \dots \dots \dots \dots \dots \dots \dots \quad (19)$$

(19) 式は図-10 に示す如く、 $1.024E^2I^3/P^2l^6A$  が 0.01~0.00001 なる場合に用ひるものとする。

### c. その他の場合

同様な考察をその他の場合に就て施すと、表-2, 3 に示す如き算式が誘導される。これ等の式中  $\omega$  の高値に對する場合には次の如き繰返試索法の使用は計算を著しく容易ならしめる。今例として等分布荷重を満載する完全固定梁をとると

$$\frac{1}{\omega^3} \left( 4 - \frac{18}{\omega} + \frac{24}{\omega^2} \right) = \frac{6144 E^2 I^3}{P^2 l^6 A} = f(\omega)$$

これを

$$\omega = \sqrt{\frac{4 - \frac{18}{\omega_n} + \frac{24}{\omega_n^2}}{f(\omega)}}$$

なる形に変形し右邊の  $\omega_n \{f(\omega)\}$  は既知を假定して左邊の  $\omega$  を求め、次にこの値を  $\omega_n$  に代入し、以下同様に繰返し  $\omega \neq \omega_n$  に到つて計算を打切ればよい。而も第一近似値の假定が計算に及ぼす影響も少

図-11.

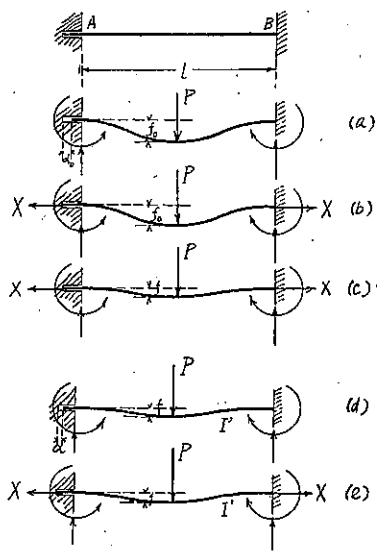


表-2.

$$X = \frac{4EJ}{l^2} \omega^2$$

$\frac{1024 E^2 J^3}{P^2 l^6 A} \geq 0.01$	$\frac{1}{60 \omega^2} = \frac{1024 E^2 J^3}{P^2 l^6 A} + n \quad (n \neq 0.003)$
$0.01 > \frac{1024 E^2 J^3}{P^2 l^6 A} > 0.00001$	$w = 0.277 \left\{ \log \frac{1024 E^2 J^3}{P^2 l^6 A} \right\}^2$
$\frac{1024 E^2 J^3}{P^2 l^6 A} \leq 0.00001$	$\frac{2}{w^2} \left( 1 - \frac{3}{w} \right) = \frac{1024 E^2 J^3}{P^2 l^6 A}$
$\frac{16 E^2 J^3}{P^2 l^6 A} \geq 0.01$	$\frac{1}{240 \omega^2} = \frac{16 E^2 J^3}{P^2 l^6 A} + n \quad (n \neq 0.003)$
$0.01 > \frac{16 E^2 J^3}{P^2 l^6 A} > 0.00001$	$w = 0.139 \left\{ \log \frac{16 E^2 J^3}{P^2 l^6 A} \right\}^2$
$\frac{16 E^2 J^3}{P^2 l^6 A} \leq 0.00001$	$\frac{1}{64 \omega^2} \left( 2 - \frac{3}{w} \right) = \frac{16 E^2 J^3}{P^2 l^6 A}$

く、計算尺の使用により容易に求むる結果に到達し得る。

例:  $f(\omega) = 0.000243 (\omega=4)$  に対する  $\omega$  を上式より求める

第1近似値を	$\omega_1 = 1$	とすると	$\omega^6 = 41100$	$\omega = 5.86$
	$\omega_2 = 5.86$	"	$\omega^6 = 6680$	$\omega = 4.33$
	$\omega_3 = 4.33$	"	$\omega^6 = 4690$	$\omega = 4.08$
	$\omega_4 = 4.08$	"	$\omega^6 = 4270$	$\omega = 4.00$

以上本節にて述べたものは理論式の簡易化であるが、算式の種類も多くその形も複雑してゐる。しかしここで述べる實用式に到る一つの過程となるものであり、且つ  $\omega$  の高値に對して正確な値を與へる點にその意義が認められると思ふ。

#### 4. 假想断面二次モーメントによる實用解法

##### a. 概 説

今固定梁が中央に單一荷重  $P$  を受けた場合を考えると、梁は水平変位を許さぬ結果軸張力  $X$  が誘發される。



$$M = M_0 - Xy$$

従つて弾性曲線の微分方程式は次の様になる。

$$EI \frac{d^2y}{dx^2} - Xy + M_0 = 0 \quad \dots \dots \dots (20)$$

今單純梁の曲げモーメント  $M_0$  を

$$M_0 = \sum_{n=1}^{\infty} A_n \sin \frac{n\pi x}{l}$$

と置くと

$$A_n = \frac{2}{l} \int_0^l M_0 \sin \frac{n\pi x}{l} dx$$

然るに

$$x = 0 \sim \frac{l}{2} \text{ に對し } M_0 = \frac{P}{2}x \quad x = \frac{l}{2} \sim l \text{ に對し } M_0 = \frac{P}{2}(l-x)$$

なるを以て、この値を上式に代入して  $A_n$  を求める

$$\begin{aligned} A_n &= \frac{P}{l} \left\{ \int_0^{l/2} x \sin \frac{n\pi x}{l} dx + \int_{l/2}^l (l-x) \sin \frac{n\pi x}{l} dx \right\} \\ &= \frac{2Pl}{n^2 \pi^2} \sin \frac{n\pi}{2} \quad (n=1, 2, 3, \dots) \end{aligned}$$

故に弾性曲線の微分方程式は下の如くなる。

$$EI \frac{d^2y}{dx^2} - Xy + \frac{2Pl}{\pi^2} \sum_{n=1}^{\infty} \frac{1}{n^2} \sin \frac{n\pi}{2} \cdot \sin \frac{n\pi x}{l} = 0$$

今  $n$  番目の部分解を次の様に置き

$$y_n = B_n \sin \frac{n\pi x}{l}$$

この項のみを考へ、他を零と置いて上式に代入する。然る時は  $\sin \frac{n\pi x}{l}$  は各項に共通であるから、これを消去して  $B_n$  を求めると

$$B_n = \frac{2Pl}{n^2 \pi^2} \sin \frac{n\pi}{2} \frac{1}{\frac{n^2 \pi^2 EI}{l^2} + X}$$

故に求むる解はこれ等の總和なるを以つて  $y$  は下の如く與へられる。

$$\begin{aligned} y &= \sum_{n=1}^{\infty} B_n \sin \frac{n\pi x}{l} \\ &= \frac{2Pl}{\pi^2} \sum_{n=1}^{\infty} \frac{\sin \frac{n\pi}{2}}{n^2} \frac{1}{\frac{n^2 \pi^2 EI}{l^2} + X} \sin \frac{n\pi x}{l} \quad \dots \dots \dots (21) \end{aligned}$$

従つて梁の中央に於ける撓  $f$  は次の如くなる。

$$\begin{aligned} f &= \frac{2Pl}{\pi^2} \sum_{n=1}^{\infty} \frac{\sin^2 \frac{n\pi}{2}}{n^3} \frac{1}{\frac{n^2 \pi^2 EI}{l^2} + X} \\ &= \frac{2Pl}{\pi^2} \left\{ \frac{1}{\frac{\pi^2 EI}{l^2} + X} + \frac{1}{9 \left( \frac{9\pi^2 EI}{l^2} + X \right)} + \frac{1}{25 \left( \frac{25\pi^2 EI}{l^2} + X \right)} + \dots \right\} \quad \dots \dots \dots (22) \end{aligned}$$



$$X = \frac{EA}{l} \alpha$$

より

$$X = \frac{P^2 l^4 A}{960 E \left( I + \frac{l^4}{\pi^2 E} X \right)^2} \quad (30)$$

又は

$$X \left( I + \frac{l^4}{\pi^2 E} X \right)^2 = \frac{P^2 l^4 A}{960 E} \quad (30')$$

図-13 は以上の関係を示すもので、(a) 図は断面二次モーメント  $I$  なる単純梁の負荷後の状態であり、(b) 図は鉢端固定梁と同一の  $f$  を與へる如き大なる断面二次モーメント  $I'$  を有する単純梁の変形状態である。従つて斯る剛性の大きな単純梁の水平移動量  $\alpha$  は近似的に (c) 図の鉢端固定梁の伸長量を與へる。(30) 及 (30') 式はこれより誘導された軸張力の計算式である。今 (30) 式に於て

図-13.

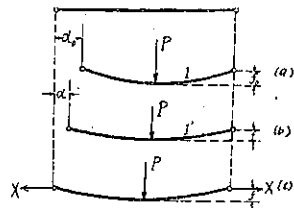


表-3.

$X = \frac{4EI}{l^2} w^2$	
	$y = \frac{P}{l} x$
$4 \sinh^2 w + \frac{24 \sinh^2 w - 9 \sinh 2w - 6}{w^2 \sinh^2 w} = \frac{6144 E^2 J^3}{P^2 l^4 A} f(w)$	
$\frac{6144 E^2 J^3}{P^2 l^4 A} \geq 0.035$	$\frac{8}{315 w^2} = \frac{6144 E^2 J^3}{P^2 l^4 A} + n \quad (n \approx 0.005)$
$0.035 > \frac{6144 E^2 J^3}{P^2 l^4 A} > 0.005$	$w + 45 w^{\frac{1}{2}} + 25 \log \frac{f(w)}{145} = 0$
$\frac{6144 E^2 J^3}{P^2 l^4 A} \leq 0.005$	$\frac{1}{w^6} \left( 4 - \frac{18}{w} + \frac{24}{w^2} \right) = \frac{6144 E^2 J^3}{P^2 l^4 A}$
	$y = \frac{P}{l} x$
$4w^2 \cosh^2 w - 24 \cosh^2 w + \frac{15 \sinh 2w - 6}{w^2 \cosh^2 w} = \frac{6144 E^2 J^3}{P^2 l^4 A} f(w)$	
$\frac{6144 E^2 J^3}{P^2 l^4 A} \geq 2.00$	$\frac{204}{315 w^2} = \frac{6144 E^2 J^3}{P^2 l^4 A} + n \quad (n \approx 0.45)$
$2.00 > \frac{6144 E^2 J^3}{P^2 l^4 A} > 0.003$	$w + 32 w^{\frac{1}{2}} + 12.5 \log \frac{f(w)}{145} = 0$
$\frac{6144 E^2 J^3}{P^2 l^4 A} \leq 0.003$	$\frac{1}{w^6} \left( 4 - \frac{24}{w^2} + \frac{30}{w^3} \right) = \frac{6144 E^2 J^3}{P^2 l^4 A}$

表-4.

$\omega$	$\frac{2 + \cosh 2\omega - 3 \sinh 2\omega}{64 \omega^6 \cosh^2 \omega}$	$\frac{1}{240 \omega^2 \left( 1 + \frac{4}{\pi^2 \omega^2} \right)^2}$
0.5	0.0137	0.0137
1	0.00211	0.00211
2	0.000152	0.000152
3	0.0000218	0.0000215
4	0.00000478	0.00000467
5	0.00000140	0.00000135
6	0.000000502	0.000000479
7	0.000000209	0.000000197
8	0.0000000969	0.0000000903
9	0.0000000490	0.0000000452
10	0.0000000266	0.0000000243
12	0.00000000916	0.00000000822
14	0.00000000371	0.00000000329
16	0.00000000169	0.00000000149
18	0.000000000842	0.000000000786
20	0.000000000452	0.000000000392

$$X = \frac{4EI}{l^4} \omega^2$$

と置くと

$$\frac{1}{240\omega^2 \left(1 + \frac{4}{\pi^2} \omega^2\right)^2} = \frac{16E^2 I^3}{P^2 l^6 A} \quad \dots \dots \dots \quad (31)$$

が得られる。これに對する理論式は

$$\frac{2 + \cosh 2\omega - \frac{3 \sinh 2\omega}{2\omega}}{64\omega^6 \cosh^3 \omega} = \frac{16E^2 I^3}{P^2 l^6 A} \quad \dots \dots \dots \quad (10)$$

であるが、この兩式を  $\omega$  の大なる場合 ( $\omega = 0.5 \sim 20$ ) に就て比較すると表-4 の如くである。普通梁として取扱われる程度の  $\omega \leq 0.1$  のものに對しては、 $1/240\omega^2$  のみにても十分であることは既に述べた通りである。誤差は表-4 に見る如く  $\omega$  が大になると共に増加するが、軸張力に如何なる差異を生ずるかに就ては後に一括して述べることにする。

### c. 中央に單一荷重を有する完全固定梁

この場合も b と同様に  $M_0$  を Fourier の級數で表はして方程式を解き、次に境の條件即ち  $x=0$  に於て  $\frac{dy}{dx}=0$  なることより  $y$  の表式を得ることは出来るが、支點曲モーメントの算式の收斂が悪い爲  $y$  も b の場合の如く第1項のみを取ることが出来ない。依つて次の様な考察を進めることにする。

即ちこの場合は梁端が埋込まれてゐるから負荷後は當然梁に轉曲點を生ずるが、その位置は軸張力の有無大小により餘り變ることが無いであらうといふことは容易に想像される。依つて今水平變位可能なる固定梁の彈性曲線を直接求めると

$$y = \frac{P}{16EI} \left(x^2 l - \frac{4x^3}{3}\right) \quad \dots \dots \dots \quad (32)$$

であるから、これより轉曲點の位置は  $x=l/4$  で與へられ、この假定の下に於ては問題は圖-14. の下に示す如き鉛直固定梁の解法に歸着する。故に (30) 及 (31) 式の  $l$  の代り  $l/2$ 、 $\omega$  の代り  $\omega/2$  を代入すると、夫々次の (33) 及 (34) 式を得る。

$$X = \frac{P^2 l^4 A}{15360E \left(I + \frac{l^2}{4\pi^2 E} X\right)^2} \quad \dots \dots \dots \quad (33)$$

又は  $X \left(I + \frac{l^2}{4\pi^2 E} X\right)^2 = \frac{P^2 l^4 A}{15360E} \quad \dots \dots \dots \quad (33')$

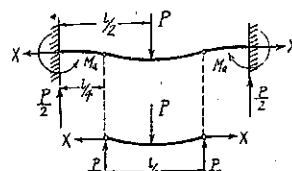
$$\frac{1}{60\omega^2 \left(1 + \frac{1}{\pi^2} \omega^2\right)^2} = \frac{1024 E^2 I^3}{P^2 l^6 A} \quad \dots \dots \dots \quad (34)$$

而もこれ等の各式は

$$I' = I + \frac{l^2}{4\pi^2 E} \quad \dots \dots \dots \quad (35)$$

なる斷面二次モーメントを有する水平移動可能なる固定梁の變位量からも容易に誘導されるものである。

圖-14.



一方理論式によると單一荷重を有する完全固定梁の任意の點に於ける曲げモーメントは次式で與へられる。

$$M = \frac{Pl}{4\omega} \frac{\sinh\left(\frac{2\omega x}{l} - \frac{\omega}{2}\right)}{\cosh \frac{\omega}{2}} \quad (4)$$

これより彎曲点の位置を求めると同様に  $x=l/4$  となり、彎曲点は軸張力の如何によつてその位置を變ずることが無いことを示し、前述の考察が眞であることを裏書してゐる。實際この場合に對する  $X$  の表式は

$$\frac{2 + \cosh \omega - \frac{3 \sinh \omega}{\omega}}{\omega^6 \cosh^2 \frac{\omega}{2}} = \frac{1024 E^2 I^3}{P^2 l^8 A} \quad (5)$$

であるが、これは鉸端固定梁に對する (10) 式の  $l$  に  $l/2$ 、 $\omega$  に  $\omega/2$  を代入して得られるもので、結局鉸端固定梁の軸張力算式に外ならない。(5) 式と (34) 式とを  $\omega=0.5 \sim 20$  に就て比較すると表-5 の如くである。

#### d. 等分布荷重を滿載する鉸端固定梁

図-15.

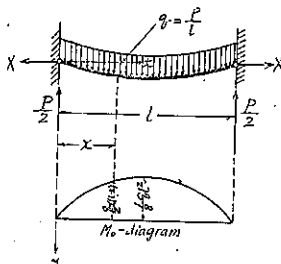
図-15. より任意の點  $(x, y)$  の曲げモーメント

表-5.

$\omega$	$\frac{2 + \cosh \omega - \frac{3 \sinh \omega}{\omega}}{\omega^6 \cosh^2 \frac{\omega}{2}}$	$\frac{1}{60 \omega^2 \left(1 + \frac{1}{\pi^2 \omega^2}\right)^2}$
0.5	0.0634	0.0634
1	0.0137	0.0137
2	0.00211	0.00211
3	0.000508	0.000508
4	0.000152	0.000152
5	0.0000539	0.0000537
6	0.0000218	0.0000215
7	0.00000971	0.00000961
8	0.00000478	0.00000467
9	0.00000251	0.00000244
10	0.00000140	0.00000135
12	0.000000502	0.000000479
14	0.000000209	0.000000197
16	0.0000000969	0.000000093
18	0.0000000490	0.0000000452
20	0.0000000266	0.0000000243

$M$  は

$$M = \frac{q}{2} x(l-x) - Xy$$

$$= M_0 - Xy$$

$$\text{茲に } M_0 = \frac{q}{2} x(l-x)$$

單純梁としての曲げモーメント  $M_0$  を前同様

$$M_0 = \sum_{n=1}^{\infty} A_n \sin \frac{n\pi x}{l} \quad (n=1, 2, 3, \dots)$$

と置くと

$$A_n = \frac{q}{l} \int_0^l x(l-x) \sin \frac{n\pi x}{l} dx = \frac{2Pl}{n^3 \pi^3} (1 - \cos n\pi)$$

$$\therefore M_0 = \frac{2Pl}{\pi^3} \sum_{n=1}^{\infty} \frac{1}{n^3} (1 - \cos n\pi) \sin \frac{n\pi x}{l}$$

$$\therefore EI \frac{d^2y}{dx^2} - Xy + \frac{2Pl}{\pi^3} \sum_{n=1}^{\infty} \frac{1}{n^3} (1 - \cos n\pi) \frac{\sin n\pi x}{l} = 0$$

$$\text{今 } y_n = B_n \sin \frac{n\pi x}{l}$$

とし、他の項を零として  $B_n$  を求める

$$\begin{aligned} B_n &= \frac{2Pl}{n^3\pi^3}(1-\cos n\pi) \frac{1}{\frac{n^2\pi^2EI}{l^2} + X} \\ \therefore y &= \frac{2Pl}{\pi^3} \sum_{n=1}^{\infty} \frac{1}{n^3} (1-\cos n\pi) \frac{1}{\frac{n^2\pi^2EI}{l^2} + X} \sin \frac{n\pi x}{l} \end{aligned} \quad \dots \dots \dots \quad (36)$$

$$\begin{aligned} \text{従つて } f &= \frac{2Pl}{\pi^3} \sum_{n=1}^{\infty} \frac{1}{n^3} (1-\cos n\pi) \sin \frac{n\pi}{2} \frac{1}{\frac{n^2\pi^2EI}{l^2} + X} \\ &\div \frac{4Pl}{\pi^3} \frac{1}{\frac{\pi^2EI}{l^2} + X} \end{aligned} \quad \dots \dots \dots \quad (37)$$

一方等分布荷重を満載する単純梁の撓は熟知の如く

$$f_0 = \frac{5Pl^3}{384EI} = \frac{Pl^3}{76.8EI} \quad \dots \dots \dots \quad (38)$$

であり、可動端の水平変位  $\alpha_0$  は次式で與へられる。

$$\alpha_0 = \frac{17P^2l^6}{40320E^2I} \quad \dots \dots \dots \quad (39)$$

従つて  $f_0$  と  $\alpha_0$  の間には次の関係が成立する。

$$\alpha_0 = \frac{6528}{2625} \frac{l}{l} f_0^2 = \frac{2.49}{l} f_0^2 \quad \dots \dots \dots \quad (40)$$

$$(37') \text{ 式に於て } \frac{\pi^2EI}{l^2} + X = \frac{\pi^2EI'}{l^2}$$

$$\text{即ち } I' = I + \frac{l^2}{\pi^2 E} X \quad \dots \dots \dots \quad (41)$$

$$\text{と置けば } f = \frac{4Pl^3}{\pi^5 EI'} = \frac{Pl^3}{76.5 EI'} \quad \dots \dots \dots \quad (42)$$

(42) 式は  $I'$  なる断面二次モーメントを有する単純梁の撓を示すと同時に、(37) 式より明らかなる如く  $I$  なる断面二次モーメントを有する鉄端固定梁の撓をも與へるものである。而もこの式は級数の第一項のみを取つたものであるから、直接求めた単純梁の撓の式と少し異つてある。依つて我々は (38) 式の  $I$  に直接  $I'$  を代入すると

$$f = \frac{5Pl^3}{384EI'} = \frac{5Pl^3}{384E \left( I + \frac{l^2}{\pi^2 E} X \right)} \quad \dots \dots \dots \quad (43)$$

となり、これを (40) 式に用ひると

$$X = \frac{17P^2l^4A}{40320E \left( I + \frac{l^2}{\pi^2 E} X \right)^2} \quad \dots \dots \dots \quad (44)$$

$$\text{又は } X \left( I + \frac{l^2}{\pi^2 E} X \right)^2 = \frac{17 P^2 l^4 A}{40320 E} \quad \dots \dots \dots \quad (44')$$

(44) 又は (44') は等分布荷重を満載する鉄端固定梁に對する軸張力の算式である。圖-16 は上述の關係を示すもので (42) 又は (43) 式より得られる撓  $f$  は  $I'$  なる断面二次モーメントを有する (b) 圖の如き單純梁の撓であつて、鉄端固定梁の夫れと同一のものである。從つて (b) 圖に於ける水平變位  $\alpha$  は (c) 圖の固定梁の伸長量と考へて差支ない。今 (44) 式の  $X$  に

$$X = \frac{4EI}{l^2} \omega^2$$

を代入すると次式が得られる。

$$\frac{204}{315 \omega^2 \left( 1 + \frac{4}{\pi^2} \omega^2 \right)^2} = \frac{6144 E^2 I^3}{P^2 l^6 A} \quad \dots \dots \dots \quad (45)$$

これに相當する理論式は次の如くであるが、

$$\frac{4\omega^2 \cosh^2 \omega - 24 \cosh^2 \omega + \frac{15 \sinh 2\omega}{\omega} - 6}{\omega^8 \cosh^8 \omega} = \frac{6144 E^2 I^3}{P^2 l^6 A} \quad \dots \dots \dots \quad (13)$$

この兩者を  $\omega = 0.5 \sim 20$  に對して比較すれば表-6 の如く實用的には殆ど完全に一致してゐる。

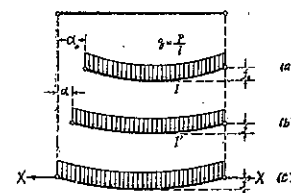
表-6.

$\omega$	$\frac{4\omega^2 \cosh^2 \omega - 24 \cosh^2 \omega + \frac{15 \sinh 2\omega}{\omega} - 6}{\omega^8 \cosh^8 \omega}$	$\frac{204}{315 \omega^2 \left( 1 + \frac{4}{\pi^2} \omega^2 \right)^2}$
0.5	2.136	2.136
1	0.328	0.328
2	0.0236	0.0236
3	0.00335	0.00334
4	0.000725	0.000723
5	0.000210	0.000209
6	0.0000744	0.0000741
7	0.0000306	0.0000304
8	0.0000141	0.0000140
9	0.00000705	0.00000700
10	0.00000379	0.00000376
12	0.00000129	0.00000128
14	0.000000516	0.000000511
16	0.000000233	0.000000231
18	0.000000116	0.000000114
20	0.0000000616	0.0000000609

#### e. 等分布荷重を満載する完全固定梁

この場合も c. と同一の考察より水平變位を許す固定梁の彈性曲線式を用ひて直接梁端の移動量を求める

圖-16.



$$\alpha_0 = \frac{P^2 l^5}{60480 E^2 I^2} \quad \dots \dots \dots \quad (46)$$

が得られる。而も荷重によつて  $\circ$  の場合と略々同一形狀の彈性曲線を生ずる譯であるから、この場合の  $I'$  も近似的に

$$I' = I + \frac{l^2}{4\pi^2 E} \quad \dots \dots \dots \quad (47)$$

で與へられる。依つて (46) 式の  $I$  にこの  $I'$  を代入すると

$$\alpha = \frac{P^2 l^5}{60480 E^2 \left( I + \frac{l^2}{4\pi^2 E} X \right)^2} \quad \dots \dots \dots \quad (48)$$

これより  $X$  の算式は次の形で與へられる。

表-7.

$\omega$	$\frac{4 \sinh^2 \omega + \frac{24 \sinh^2 \omega}{\omega^2} - \frac{9 \sinh 2\omega}{\omega} - 6}{\omega^6 \sinh^2 \omega}$	$\frac{8}{315 \omega^2 \left( 1 + \frac{1}{\pi^2 \omega^2} \right)^2}$
0.5	0.0966	0.0966
1	0.0209	0.0210
2	0.00326	0.00322
3	0.000791	0.000774
4	0.000243	0.000232
5	0.0000869	0.0000818
6	0.0000352	0.0000328
7	0.0000163	0.0000146
8	0.00000810	0.00000712
9	0.00000432	0.00000372
10	0.00000244	0.00000206
12	0.000000893	0.000000732
14	0.000000377	0.000000300
16	0.000000177	0.000000138
18	0.0000000904	0.0000000690
20	0.0000000494	0.0000000370

$$X = \frac{P^2 l^4 A}{60480 E \left( I + \frac{l^2}{4\pi^2 E} X \right)^2} \quad \dots \dots \dots \quad (49)$$

又は  $X \left( I + \frac{l^2}{4\pi^2 E} X \right)^2 = \frac{P^2 l^4 A}{60480 E} \quad \dots \dots \dots \quad (49')$

(49) 式の  $X$  の代りに  $\omega$  を置換へると次式を得る。

$$\frac{8}{315 \omega^2 \left( 1 + \frac{1}{\pi^2 \omega^2} \right)^2} = \frac{6144 B^2 l^3}{P^2 l^6 A} \quad \dots \dots \dots \quad (50)$$

これに對應する理論式は下の如くで表-7 は  $\omega = 0.5 \sim 20$  に對する兩式の値を比較したものである。

$$\frac{4\sinh^2 \omega + \frac{24 \sinh^2 \omega}{\omega^2} - \frac{9 \sin 2\omega}{\omega} - 6}{\omega^6 \sinh^2 \omega} = \frac{6144EI^3}{P^7 A} \quad \dots \dots \dots (9)$$

## f. 誤差

前述した處によつて明らかなる如く實用式は一般に  $\omega$  の或る値に對し,  $f(\omega)$  の値が理論式に比して小さく而もその差は  $\omega$  が大になると共に増加してゐる。實際問題は  $f(\omega)$  が既知であつてそれより  $\omega$  即ち軸張力  $X$  を求めるのであるが、その際  $f(\omega)$  に於ける以上の差が  $\omega$  及  $X$  に對し如何なる誤差を生ぜしめるかを明らかにする必要があるのである。 $\omega$  が小さい場合に對しては表-4~7 によつて明らかなる如く殆ど完全に一致してゐるから、 $\omega$  の大なる場合に對して一應検討して見やう。 $\omega$  で表はした算式の一般形は

$$f = \frac{1}{a\omega^2(1+b\omega^2)^2} \quad \dots \dots \dots \dots \dots \dots \dots \dots (51)$$

で代表されるから

$$\begin{aligned} \Delta f &= \frac{\partial f}{\partial \omega} \Delta \omega = -\frac{2}{a} \left\{ \frac{1+3b\omega^2}{\omega^3(1+b\omega^2)^3} \right\} \Delta \omega \\ \therefore \Delta \omega &= -\frac{a}{2} \left\{ \frac{\omega^2(1+b\omega^2)^3}{1+3b\omega^2} \right\} \Delta f \end{aligned} \quad \dots \dots \dots \dots \dots \dots \dots \dots (52)$$

從つて  $\Delta f$  なる値が  $\omega$  に如何なる誤差を與へるかは (52) 式から近似的に求められる。

例として最も誤差の大なる等分布荷重を満載する完全固定梁の  $\omega=20$  に對する場合を考へると、表-7 より

$$\Delta f = 0.0000000370 - 0.0000000494 = -0.0000000124$$

$$a = \frac{315}{8} = 39.375 \quad b = \frac{1}{\pi^2} = \frac{1}{9.86} \quad 1+b\omega^2 = 41.4$$

$$\therefore \Delta \omega = -\frac{39.375}{2} \left( \frac{\frac{20^3 \times 41.4^3}{3 \times 20^2}}{1 + \frac{3 \times 20^2}{9.86}} \right) \times (-0.0000000124) = 1.13$$

從つて  $f=0.0000000370$  に對する正しい  $\omega$  は

$$\omega = 21.13$$

故に  $X = \frac{4EI}{l^2} \omega^2$  なるを以て  $X$  の誤差は

$$1 - \frac{21.13^2}{20^2} = -0.12$$

即ち真値より約 12% 小なる軸張力を與へることになる。

又中央に單一荷重を有する鉸端固定梁に就て  $\omega=20$  の場合を検討すると、表-4 より

$$\Delta f = 0.000000000392 - 0.000000000452 = -0.000000000060$$

$$a = 240 \quad b = \frac{4}{\pi^2} = \frac{4}{9.86} \quad 1+b\omega^2 = 163$$

$$\therefore \Delta \omega = -\frac{240}{2} \left( \frac{\frac{20^3 \times 163^3}{3 \times 4 \times 20^2}}{1 + \frac{3 \times 4 \times 20^2}{9.86}} \right) \times (-0.000000000060) = 0.51$$

從つて  $f=0.0000000392$  に對する正しい値は

$$\omega = 20.51$$

故に  $X$  に及ぼす誤差は



$$X \left( I + \frac{l^2}{4\pi^2 E} X \right)^2 = \frac{P^2 l^4 A}{15360 E} \cdots (33') \quad \text{より}$$

$$X(172 + X)^2 = 85192870$$

$$\therefore X = \sqrt{\frac{85192870}{X_n}} - 172$$

172 を無視すると  $X = 435$

故に	$X_1 = 435$	とすれば	$X = 271$	$X_2 = 353$	とすれば	$X = 320$
	$X_3 = 336$	"	$X = 332$	$X_4 = 334$	"	$X = 333 \text{ kg}$ (330 kg)

(c) 等分布荷重を満載する鉄端固定梁

$$X \left( I + \frac{l^2}{\pi^2 E} X \right)^2 = \frac{17 P^2 l^4 A}{40320 E} \cdots (44') \quad \text{より}$$

$$X(43 + X)^2 = 34479634$$

$$\therefore X = \sqrt{\frac{34479634}{X_n}} - 43$$

前同様に 43 を無視し

$X_1 = 322$	とすれば	$X = 284$	$X_2 = 303$	とすれば	$X = 295$
$X_3 = 299$	"	$X = 297$	$X_4 = 297$	"	$X = 298 \text{ kg}$ (294 kg)

(d) 等分布荷重を満載する完全固定梁

$$X \left( I + \frac{l^2}{4\pi^2 E} X \right)^2 = \frac{P^2 l^4 A}{60480 E} \cdots (49') \quad \text{より}$$

$$X(172 + X)^2 = 21636284$$

$$\therefore X = \sqrt{\frac{21636284}{X_n}} - 172$$

同様に	$X_1 = 276$	とすれば	$X = 108$	$X_2 = 192$	とすれば	$X = 164$
	$X_3 = 178$	"	$X = 177 \text{ kg}$ (180 kg)			

括弧内は Wiederkehr 氏の計算結果である。これ等の計算は總べて計算尺の使用によつて行つたもので僅々 5 分足らずで求むる結果が得られる。

以上の如く可動端を有する梁との關聯に於て固定梁の考察を進めるときは、任意の載荷状態に對しても非常に簡単な形で解決されるのではないかと考へてゐるが、これ等に關しては後日の研究に俟つことゝしこれを以て本報告の終りとする。尙撓や支點曲げモーメント等も總べて  $I$  なる断面二次モーメントを有する水平移動可能なる梁として求められるのであるが本文中には多く省略した。

擇筆するに當り學生時代以來常に御鞭撻を辱しくしてゐる鷹部屋福平先生に對し深く感謝の意を表する次第である。

(1) 参考文献

- 1) F. Takabeya: Zur Berechnung des beiderseits eingemauerten Trägers unter besonderer Berücksichtigung der Längskraft, Berlin, Julius Springer, 1924.
- Do. Memoirs, Kyushu Imperial University, Japan, 1922.

A. Oto: On the Application of Variational Equations to Statical Problems of Elasticity. Memoirs of the College of Engineering, Kyushu Imperial University, Japan, 1924.

K. Hayashi: Über die Anwendung des Satzes von der virtuellen Verschiebung in der Festigkeitslehre, Memoirs of the College of Engineering, Kyushu Imperial University, Japan, 1924.

Fr. Bleich: Theorie und Berechnung der eisernen Brücken, Berlin, Julius Springer, 1924, S. 355.

F. Takabeya: Étude des pieces encastrées aux deux extrémités par considération spéciale de la force longitudinale, Paris, Béranger, 1926.

F. Takabeya: Étude sur la force longitudinale de la pièce encastrée, les murs étant complètement dociles aux déplacements angulaires, Memoirs of the College of Engineering, Hokkaido Imperial University, Japan, 1926.

F. Takabeya: Étude de la force longitudinale et du moment de flexion aux extrémités de la pièce complètement encastrée, Memoirs, Hokkaido Imperial University, 1926.

2) R. Wiederkehr: Der Gespannte Träger, Schweizerische Technische Zeitschrift, 25. Nov. 1926.

J. Trüb: Beitrag zur Berechnung der Spannungen in ebenen Behälterwandungen, Der Bauingenieur, 28. Dez. 1928.

3) 懲部屋福平: 高級桁梁論, 岩波, 昭和 4 年

O. Belluzzi: Sul comportamento degli archi elastici molto ribassati, Annali dei Lavori Pubblici, P. 14, Anno. 1929.

O. Belluzzi: Sul comportamento degli archi elastici molto ribassati, Rendiconti della R. Accademia Nazionale dei Lincei, P. 54, Roma, 1929 (VII)

F. Takabeya: Zur Berechnung der Spannungen in ebenen, eingespannten Flachblechen, Verhandlungen des 3. Internationalen Kongresses für Technische Mechanik. Teil II. 1930. S. 71.

B. Tartaglia: Poduzne sile ukljestenih i Kontinuiranih nosaca sa nepopustljivim potporama u horizontalnom smjem, 1933.

(2) M. Toll, Die steife Kettenlinie. V. D. I. 1897, S. 855.

(3)  $\Delta l$  の計算は假想動の原理を應用しても求め得るが茲には省略する。1) 参照。